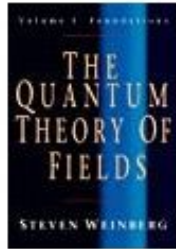


Theoretischer Weg von Lagrangedichten zu Feynman Diagrammen und deren Berechnung

Alexander Huss (CERN)

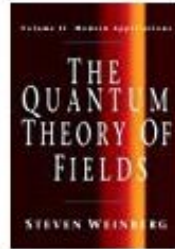
Quantenfeldtheorie in 2x (90min)

Alexander Huss (CERN)



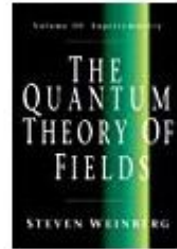
636 pg.

+



512 pg.

+



442 pg.
(SUSY)

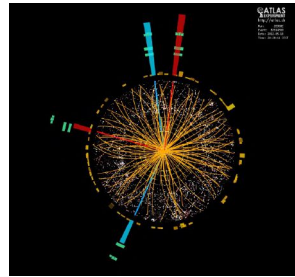
Plan

0. Konventionen
1. Symmetrien
 - skalare QED
2. Brout - Englert - Higgs Mechanismus
 - Massen von Eichbosonen U(1)
 - Fermion Massen SM
3. Quantenfeldtheorie
 - Pfadintegrale
4. Störungstheorie & Feynman Diagramme
5. Streuprozesse & Wirkungsquerschnitte
 - $e^+e^- \rightarrow \mu^+ \mu^-$

heute:



morgen



Ø. Konventionen

* Natürliche Einheiten $\hbar = c = 1$

$$\hookrightarrow [h] = [Et] \Rightarrow [E] = \frac{1}{[t]} \quad \left\{ \begin{array}{l} \text{Teilchenphysik: } [E] = eV \\ [E] = [p] = [m] = eV \\ [t] = [x] = eV^{-1} \end{array} \right.$$

$$\hookrightarrow [c] = \left[\frac{x}{t} \right] \Rightarrow [x] = [t] \quad \left. \begin{array}{l} \\ \\ \end{array} \right\}$$

$$\hookrightarrow \text{Faustregel: } 1 \text{ GeV} \approx m_p \quad \leftarrow 10^9$$

* Vierervektoren: $x^\mu = (t, x, y, z) \quad \partial_\mu = (\partial_t, \vec{\nabla})$

$$\hookrightarrow \text{Skalarprodukt: } a \cdot b = a^\mu b_\mu = a^\mu g_{\mu\nu} b^\nu = a^0 b^0 - \vec{a} \cdot \vec{b}$$

$$g_{\mu\nu} = \begin{pmatrix} 1 & & & \\ & -1 & & \\ & & -1 & \\ & & & -1 \end{pmatrix}$$

$$\hookrightarrow \text{d'Alembert Operator} \quad \square \equiv \partial_\mu \partial^\mu = \partial_t^2 - \Delta$$

$$\hookrightarrow \text{Gamma Matrizen } \gamma^\mu \quad \Rightarrow \quad \not{a} = a^\mu \gamma_\mu$$

Freie Felder

Spin 0: $(\square + m^2) \phi(x) = 0$ $\Leftrightarrow \mathcal{L}_\phi = \frac{1}{2} (\partial_\mu \phi) (\partial^\mu \phi) - \frac{1}{2} m^2 \phi^2$
Klein-Gordon Gl.

Spin $\frac{1}{2}$: $(i\not{\partial} - m) \psi(x) = 0$ $\Leftrightarrow \mathcal{L}_\psi = \bar{\psi} (i\not{\partial} - m) \psi$
Dirac Gl.

Spin 1: $\partial_\mu F^{\mu\nu} = 0$ $\Leftrightarrow \mathcal{L}_A = -\frac{1}{4} F_{\mu\nu} F^{\mu\nu}$
Maxwell Gl.

$$\vec{\nabla} \cdot \vec{E} = 0 = \vec{\nabla} \cdot \vec{B}$$
$$\vec{\nabla} \times \vec{E} = -\frac{\partial \vec{B}}{\partial t}, \quad \vec{\nabla} \times \vec{B} = \frac{\partial \vec{E}}{\partial t}$$

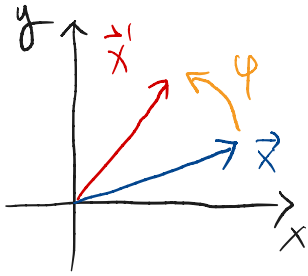
\hookrightarrow Eichfreiheit: $A^\mu(x) \rightarrow A'^\mu(x) = A^\mu(x) + \partial^\mu \varphi(x)$
 $\Rightarrow F^{\mu\nu} \rightarrow F'^{\mu\nu} = \partial^\mu A^\nu - \partial^\nu A^\mu$

1. Symmetrien

Emmy Noether (1915):

"Für jede kontinuierliche Symmetrie der Theorie existiert eine erhaltene Größe"

* Drehungen in 2D



$$\vec{x}' = \begin{pmatrix} x' \\ y' \end{pmatrix} = \begin{pmatrix} \cos\varphi & -\sin\varphi \\ \sin\varphi & \cos\varphi \end{pmatrix} \begin{pmatrix} x \\ y \end{pmatrix} \leftrightarrow SO(2)$$

Invariante: Länge: $\vec{x}^2 = x^2 + y^2 = x'^2 + y'^2$

↔ Theorie basierend auf $(\dot{x}) \Rightarrow$ symmetrisch unter Drehungen

⇒ Erhaltene Größe: L_z (Drehimpuls) ← Generator

* relativistisch (SRT) Lorentz Trafo: $x^\mu \rightarrow x'^\mu = \Lambda^\mu_\nu x^\nu$

⇒ $x^2 = x^\mu x_\mu$ invariant ⇒ Drehimpuls (+ Massenschwerpunkt: geradlinig gleichförmig)

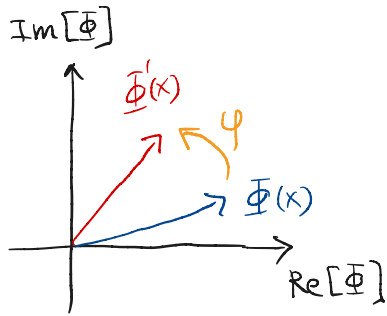
* Poincaré = SRT ⊕ Translationen $x^\mu \rightarrow x'^\mu = x^\mu + \xi^\mu \Rightarrow$ Energie & Impuls

Interne Symmetrien — Symmetrien im Raum der Felder

* Beispiel: komplexes SpH-Ø Feld $\Phi(x) \in \mathbb{C}$

$$\begin{cases} c = a+ib \\ c^* = a-ib \end{cases}$$

$$\mathcal{L}_\Phi = (\partial_\mu \Phi^*) (\partial^\mu \Phi) - m^2 \Phi^* \Phi$$



$$u(1) \cong \text{SO}(2)$$

$$\left. \begin{aligned} \Phi'(x) &= e^{i\varphi} \Phi(x) \\ \Phi'^*(x) &= e^{-i\varphi} \Phi^*(x) \end{aligned} \right\} \Rightarrow \Phi^* \Phi \text{ invariant!}$$

(global: $\varphi \neq \varphi(x)$)

$$\Rightarrow \text{Noether: } \partial_\mu J^\mu = 0 \quad \text{mit } J^\mu = (\partial^\mu \Phi^*) \Phi - \Phi^* (\partial^\mu \Phi)$$

$$\Leftrightarrow \text{Ladung: } Q = \int d^3x J^0$$

Eichsymmetrien

$\hat{=}$ lokale interne Symmetrien: $\Phi(x) \rightarrow \Phi'(x) = e^{i\varphi(x)} \Phi(x)$

Raum-Zeit Abh.

$$\mathcal{L}_\Phi = \underbrace{(\partial_\mu \Phi^*)}_{\times} (\partial^\mu \Phi) - \underbrace{m^2 \Phi^* \Phi}_{\checkmark}$$

$$\partial_\mu \Phi(x) \mapsto \partial_\mu \Phi'(x) = \partial_\mu [e^{i\varphi(x)} \Phi(x)] = i [\partial_\mu \varphi(x)] e^{i\varphi(x)} \Phi(x) + e^{i\varphi(x)} [\partial_\mu \Phi(x)]$$

* Lösung Kovariante Ableitung

$$D_\mu = \partial_\mu + ie A_\mu \quad \text{mit} \quad A_\mu(x) \mapsto A'_\mu(x) = A_\mu(x) - \frac{1}{e} (\partial_\mu \varphi(x))$$

$$\Rightarrow (D_\mu \Phi) \rightarrow (D'_\mu \Phi') = e^{i\varphi(x)} (D_\mu \Phi)$$

$$\Rightarrow \mathcal{L}_\Phi \Big|_{\partial_\mu \rightarrow D_\mu} \text{ ist eichinvariant!} \quad \nabla$$

Skalare QED aus U(1) Eichsymmetrie

$$\mathcal{L}_\Phi \Big|_{\partial_\mu \rightarrow D_\mu} = (\partial_\mu \Phi^*) (\partial^\mu \Phi) - m^2 \Phi^* \Phi + ie A^\mu \underbrace{[(\partial_\mu \Phi^*) \Phi - \Phi^* (\partial_\mu \Phi)]}_{\text{Noether Strom } J_\mu} - e^2 A_\mu A^\mu \Phi^* \Phi \quad \left. \vphantom{\mathcal{L}_\Phi} \right\} \text{Wechselwirkungen!}$$

* Das Feld A_μ ist noch nicht dynamisch

$$\Rightarrow \text{Füge } \mathcal{L}_A \text{ hinzu: } \mathcal{L}_{\text{SQED}} = (\partial_\mu \Phi^*) (\partial^\mu \Phi) - m^2 \Phi^* \Phi - \frac{1}{4} F_{\mu\nu} F^{\mu\nu}$$

* Analoge Schritte für ein Elektron $\psi_e(x)$ & $\mathcal{L}_\psi \rightsquigarrow$ QED

1) fixiere Materiefelder & deren Symmetrieeigenschaften

2) fordere **lokale** Symmetrie (Eichsymmetrie)

3) \oplus Dynamik der Eichfelder

\Rightarrow Wechselwirkungen! (Grundprinzip für das SM $SU(3)_c \times SU(2)_I \times U(1)_Y$)

2. Brout-Englert-Higgs Mechanismus

Probleme mit Massen

(A) Eichsymmetrien sind sehr einschränkend

$$-m^2 A_\mu A^\mu \xrightarrow{A_\mu \rightarrow A_\mu - \frac{1}{e} (\partial_\mu \varphi)} -m^2 A_\mu A^\mu + 2 \frac{m^2}{e} (\partial_\mu \varphi) A^\mu - \frac{m^2}{e^2} (\partial_\mu \varphi) (\partial^\mu \varphi)$$

naiver Massenterm nicht invariant!

↳ Austauschteilchen der schwachen WW (Z & W^\pm) massiv ⚡

(B) In einer chiralen Theorie wird zw. links- & rechts-händigen Fermionen unterschieden.

↳ das SM ist eine chirale Theorie \Rightarrow Massen für $e, \mu, \tau, u, d, c, s, t, b, \nu$ verboten ⚡

↳ Lösung von (A) gibt uns die Bausteine für Lsg. von (B)

Spontane Symmetriebrechung

Allgemeines Potential für Φ :

$$\mathcal{L} = -\frac{1}{4} F_{\mu\nu} F^{\mu\nu} + (D_\mu \Phi^*) (D^\mu \Phi) - \underbrace{\mu^2 \Phi^* \Phi - \lambda (\Phi^* \Phi)^2}_{-V(\Phi) \text{ sichinvariant}}$$

* $\lambda > 0$ Damit Potential beschränkt

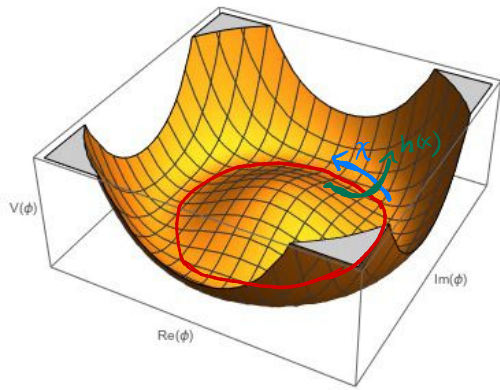
↳ sonst kein "Vakuum"

* Einzige Freiheit: Vorzeichen von μ^2

↳ $\mu^2 > 0$: langweilig \leftrightarrow einfacher Massenterm $m_\Phi = \mu$

↳ $\mu^2 < 0$: Entartetes Minimum für $V(\Phi)$

Das Higgs Potential



→ Minimum des Potentials (\leftrightarrow Vakuum)

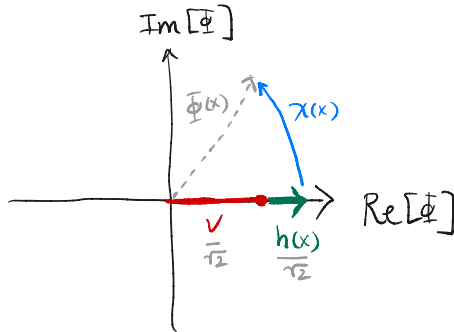
$$|\Phi|_{\text{Vakuum}} = \sqrt{\frac{-\mu^2}{2\lambda}} \equiv \frac{v}{\sqrt{2}} = \Phi_0 = \langle 0 | \Phi | 0 \rangle$$

\hookrightarrow unendlich viele **equivalente** Konfigurationen

\hookrightarrow Physik unabhängig davon;
müssen aber eine Wahl treffen

→ "Spontan" ($\text{Re}[\Phi] = \Phi_0, \text{Im}[\Phi] = 0$)

* Parametrisiere in "Polarkoordinaten" um das Vakuum ($c = a + ib = r e^{i\varphi}$)



$$\Phi(x) = e^{i\chi(x)} \frac{1}{\sqrt{2}} (v + h(x))$$

Der Higgs (BEH) Mechanismus

$$\underline{\Phi}(x) = e^{i\chi(x)} \frac{1}{\sqrt{2}} (V + h(x))$$

Im SM:

$$\underline{\Phi}(x) = e^{i\frac{\sigma^k}{2}\theta^k(x)} \frac{1}{\sqrt{2}} \begin{pmatrix} \varphi \\ v + H(x) \end{pmatrix}$$

$\hookrightarrow M_W (80 \text{ GeV}) \leq M_Z (91 \text{ GeV})$

* 2 Freiheitsgrade = $h(x)$ & $\chi(x)$ aber $\chi(x)$ ist unphysikalisch!

\hookrightarrow eine Eichtransformation $\underline{\Phi}(x) \rightarrow e^{-i\chi(x)} \underline{\Phi}(x)$ eliminiert $\chi(x)$
("unitäre Eichung")

* Freiheitsgrade verschwinden nicht!

$$\hookrightarrow -e^2 A_\mu A^\mu \underline{\Phi}^* \underline{\Phi} = -\frac{e^2}{2} A_\mu A^\mu (v + h(x))^2 = \frac{1}{2} e^2 v^2 A_\mu A^\mu + \dots$$

\hookrightarrow Massenterm mit $m_A^2 = e^2 v^2$!

\hookrightarrow masseloses Spin-1 : 2 FG (2x transversale Pol.)

massives Spin-1 : 3 FG (\oplus longitudinale Pol.)

\hookrightarrow Z hat weiterhin $U(1)$ Symmetrie "versteckte Symmetrie"

Fermion Massen

* Spin Quantenzahl $\pm \frac{1}{2}$

$$\xrightarrow{S} p_f \quad R (+)$$

Chiralität: ($\hat{=}$ Helizität für $m_f = 0$)

$$\xleftarrow{S} p_f \quad L (-)$$

(abstrakt für $m_f \neq 0$)

* Das Standardmodell ist eine "chirale" Theorie

\hookrightarrow unterscheidet zw. R & L \Rightarrow keine Spiegelsymmetrie (Wu et al. '57)

$\hookrightarrow \begin{pmatrix} \psi_1 \\ \psi_2 \end{pmatrix}_L \left[\begin{array}{l} \leftarrow \\ \leftarrow \end{array} \right] \begin{array}{l} \text{schwacher} \\ \text{Isospin} \end{array} ; \psi_{1,R} ; \psi_{2,R} \quad [(\psi_1, \psi_2) \in \{ (u, d), (\nu_e, e^-), \dots \}]$

* Problem: $-m_f \tilde{\psi} \psi = -m_f \underbrace{[\tilde{\psi}_L \psi_R + \tilde{\psi}_R \psi_L]}_{Y \begin{array}{l} (\frac{1}{2} - 1) \\ (1 - \frac{1}{2}) \end{array} \neq 0}$

\hookrightarrow nicht invarian!

Yukawa Wechselwirkungen

* BEH gibt uns ein neues $SU(2)_I$ doublet: $\Phi_{(x)} = \frac{1}{\sqrt{2}} \begin{pmatrix} 0 \\ v + H(x) \end{pmatrix}$
⇒ können einen invariante $\tilde{\Psi}_L \Phi \Psi_R$ Term konstruieren:

$$Y = (+\frac{1}{2}) \oplus (+\frac{1}{2}) \oplus (-1) = \emptyset \quad U(1)_Y$$

$$\mathcal{L}_{Yuk} = -\lambda_e \frac{1}{\sqrt{2}} \underbrace{\begin{pmatrix} \tilde{\Psi}_{\nu e} \\ \tilde{\Psi}_e \end{pmatrix}_L}_{SU(2)_I} \underbrace{\begin{pmatrix} \emptyset \\ v + H \end{pmatrix}}_{\text{Lorentz}} \Psi_{e,R} + h.c. = -\lambda_e \frac{v}{\sqrt{2}} (\tilde{\Psi}_{e,L} \Psi_{e,R} + \tilde{\Psi}_{e,L} \Psi_{e,R}) + \dots$$
$$m_e = \lambda_e \frac{v}{\sqrt{2}}$$

* Interpretation:

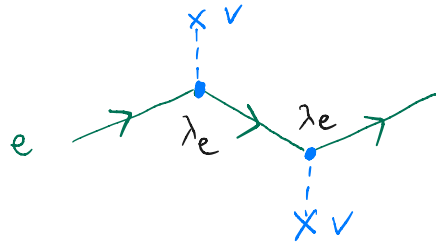
↳ Fermionen ursprünglich masselos \leftrightarrow Lichtgeschwindigkeit.

↳ WW mit dem Higgs (dem Vakuum) \rightsquigarrow Abbremsung \Rightarrow Masse

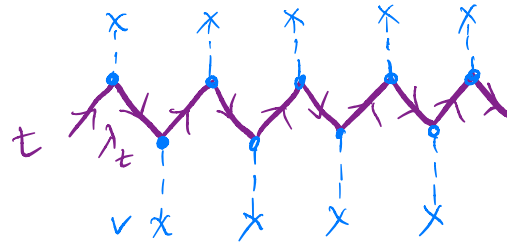
↳ stärkere WW mit $H(x) \leftrightarrow m_f$ größer

Das Higgs Vakuum als Schnee

leichtes Fermion



schwereres Fermion



Zusammenfassung

* Symmetrien fundamental in Theoretischer Physik

↳ Eichsymmetrien \Rightarrow Wechselwirkungen

* Symmetrien spielen nicht gut zusammen mit Massen

↳ BEH Mechanismus bricht die Symmetrie spontan

\Rightarrow Eichbosonen mit Massen

↳ chirale Theorien: (ad-hoc) Kopplung mit Higgs $\Rightarrow m_f \neq 0$

3. Quantenfeldtheorie

$$QFT = QM \oplus SRT$$

* Quantenmechanik (QM)

Schrödinger Gl.

$$i\hbar \frac{\partial}{\partial t} \psi(\vec{x}, t) = \hat{H} \psi(\vec{x}, t) = \left[-\frac{\hbar^2}{2m} \Delta + V(\vec{x}) \right] \psi(\vec{x}, t)$$

- ⊕ Beschreibung mikroskopischer Natur (Δx klein)
- ⊖ nicht relativistisch: \hat{x} (op) vs. t (Param), ∂_t vs. Δ
- ⊖ Teilchenzahl fix (abgesehen von zweiter Quantisierung)

* Spezielle Relativitätstheorie (SRT)

Prinzip der Relativität \leftrightarrow Invarianz bzgl. Lorentz Trafo

$$X^\mu \rightarrow X'^\mu = \Lambda^\mu{}_\nu X^\nu \quad (\text{Drehungen \& "Boosts"})$$

- ⊕ Prozesse mit hoher Geschw./Energie ($v \sim c$)

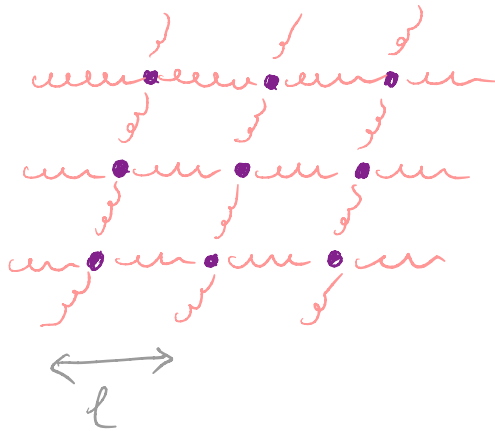
Quantenfeldtheorie

Hochenergiephysik: z.B. Kollision von **energetischen** Teilchen um **kleine Distanzen** aufzulösen (\leadsto fundamentale Struktur)

* Teilchen ξ \leftrightarrow Feld $\Phi_{\xi}^{X^{\mu}}(t, \vec{x}) \leadsto$ Anregungen

* $E=mc^2$ & QM \Rightarrow Teilchenerzeugung / Vernichtung.

* QFT ist eine **Matratze**:



$$L = \frac{1}{2} \sum_a m \dot{q}_a^2 - \sum_{a,b} k_{ab} q_a q_b - \dots$$

\hookrightarrow Euler Lagrange

$$m \ddot{q}_a - \sum_b k_{ab} q_b - \dots$$

(k_{ab} diagonalisieren \Rightarrow Eigenmoden / Eigenfreq)
 \hookrightarrow allg. Lsg. Wellenpakete von Moden)

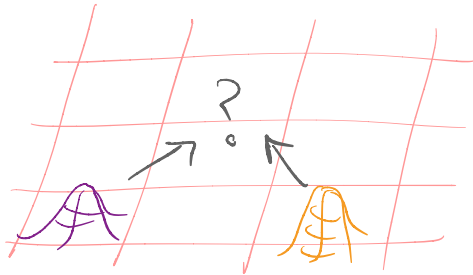
Quantenfeldtheorie

Hochenergiephysik: z.B. Kollision von **energetischen** Teilchen um **kleine Distanzen** aufzulösen (\leadsto fundamentale Struktur)

* Teilchen ξ \leftrightarrow Feld $\Phi_{\xi}^{X^{\mu}}(t, \vec{x}) \leadsto$ Anregungen

* $E=mc^2$ & QM \Rightarrow Teilchenerzeugung / Vernichtung.

* QFT ist eine **Matratze**:



$$L = \frac{1}{2} \sum_a m \dot{q}_a^2 - \sum_{a,b} k_{ab} q_a q_b - \dots$$

\hookrightarrow Euler Lagrange

$$m \ddot{q}_a - \sum_b k_{ab} q_b - \dots$$

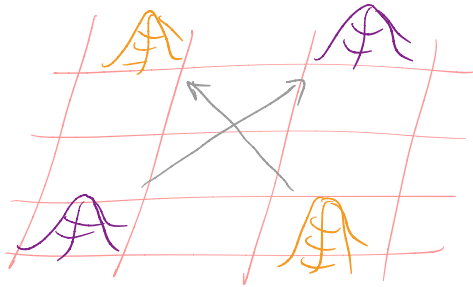
Quantenfeldtheorie

Hochenergiephysik: z.B. Kollision von **energetischen** Teilchen um **kleine Distanzen** aufzulösen (\leadsto fundamentale Struktur)

* Teilchen ξ \leftrightarrow Feld $\Phi_{\xi}^{X^{\mu}}(t, \vec{x}) \leadsto$ Anregungen

* $E=mc^2$ & QM \Rightarrow Teilchenerzeugung / Vernichtung.

* QFT ist eine **Matratze**:



$$L = \frac{1}{2} \sum_a m \dot{q}_a^2 - \sum_{a,b} k_{ab} q_a q_b - \dots$$

\hookrightarrow Euler Lagrange

$$m \ddot{q}_a - \sum_b k_{ab} q_b - \dots$$

linear \rightarrow Superposition \rightarrow keine WW

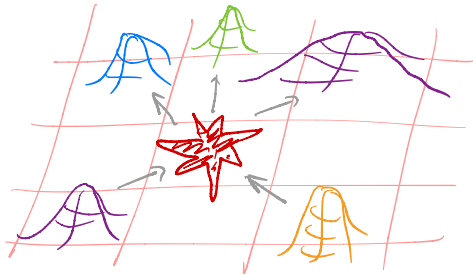
Quantenfeldtheorie

Hochenergiephysik: z.B. Kollision von **energetischen** Teilchen um **kleine Distanzen** aufzulösen (\leadsto fundamentale Struktur)

* Teilchen $\xi \leftrightarrow$ Feld $\Phi_{\xi}^{\chi}(\vec{t}, \vec{x}) \rightsquigarrow$ Anregungen

* $E=mc^2$ & QM \Rightarrow Teilchenerzeugung / Vernichtung

* QFT ist eine **Matrize**:



$$L = \frac{1}{2} \sum_a m \dot{q}_a^2 - \sum_{a,b} k_{ab} q_a q_b - \sum_{a,b,c} g_{abc} q_a q_b q_c \dots$$

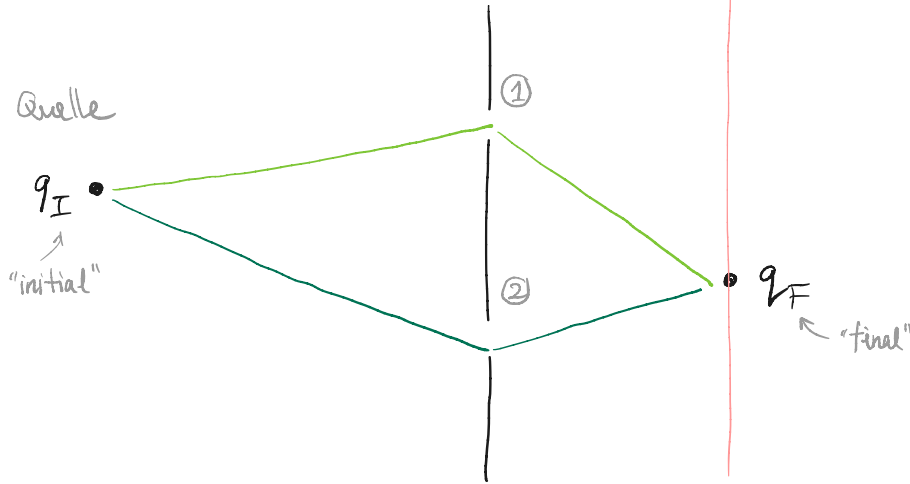
\hookrightarrow Euler Lagrange

$$m \ddot{q}_a - \sum_b k_{ab} q_b - \sum_{b,c} g_{abc} q_b q_c \dots$$

nicht linear \Rightarrow WW

Pfadintegralquantisierung

Das Doppelspaltexperiment



klassisch:

$$P_{q_I \rightarrow q_F} = P_1 + P_2$$

QM:

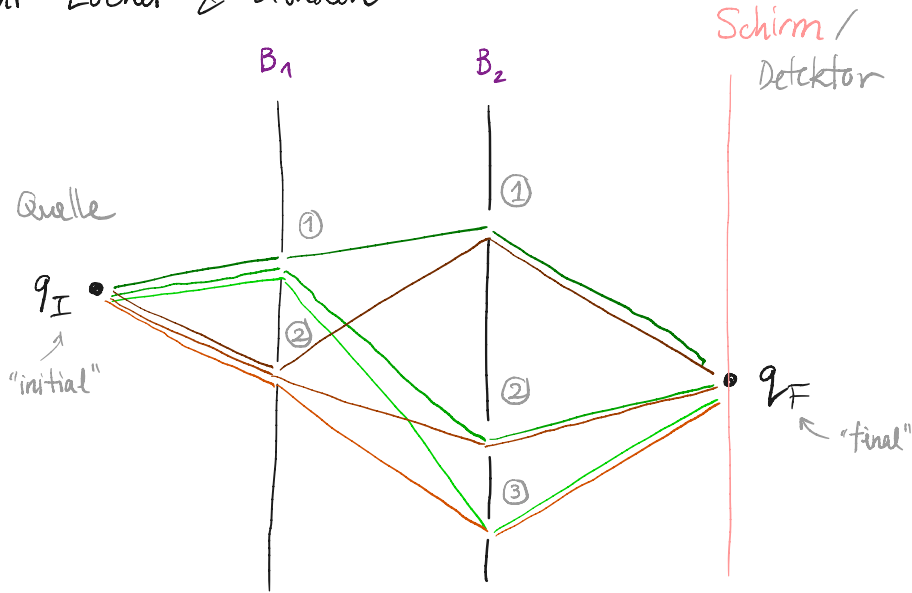
$$\begin{aligned} P_{q_I \rightarrow q_F} &= |A_1 + A_2|^2 \\ &= |A_1|^2 + |A_2|^2 + 2 \operatorname{Re}\{A_1^* A_2\} \end{aligned}$$

Interferenz!

↳ Wellennatur (WSK)
des Elektrons !

Pfadintegralquantisierung

↔ Mehr Löcher & Blenden



$$P = |A|^2$$

$$A = A_{11} + A_{12} + A_{13} \\ + A_{21} + A_{22} + A_{23}$$

Pfadintegralquantisierung

↳ ∞ viele Blenden & Löcher



$$P = |A|^2$$

$$A = \sum_{\text{Pfade}} A_{\text{Pfad}}$$

eine Blende mit
unendlich vielen Löchern
 $\hat{=}$ keine Blende

↳ Im Heisenberg Bild

$$\langle q_F | e^{-i\hat{H}T} | q_I \rangle = \int \mathcal{D}[q(t)]$$

Operator

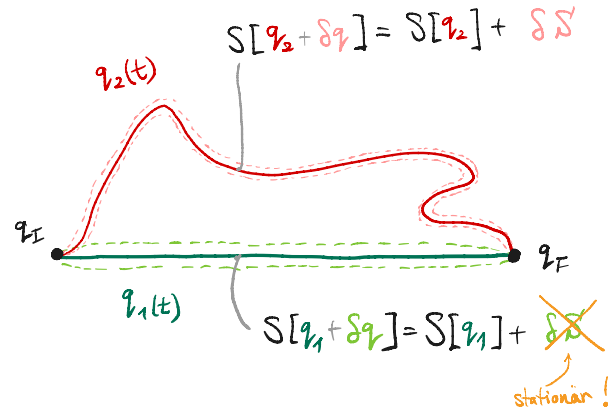
$$e^{i \int_0^T dt L(q, \dot{q})}$$

keine Operatoren (Pfadintegraldarstellung)

Der klassische Limes ($\hbar \rightarrow 0$)

$$\int \mathcal{D}[q(t)] e^{\frac{i}{\hbar} S[q(t)]}$$

$q(0) = q_I$ $S[q(t)] = \int_0^T dt \mathcal{L}(q(t), \dot{q}(t))$
 $q(T) = q_F$



* $q_1(t) \rightsquigarrow \delta S = 0 \Rightarrow$ benachbarte Pfade haben \sim gleiche Phase
 \rightsquigarrow summieren sich kohärent auf

\Rightarrow Beitrag zum Pfadintegral

$\Leftrightarrow \delta S \stackrel{!}{=} 0 \hat{=} \text{Euler-Lagrange}$ Göl. der kl. Mechanik

* $q_2(t) \rightsquigarrow$ benachbarte Pfade hoch oszillierend!

 \rightsquigarrow Aufhebung \Rightarrow kein Beitrag

Feldquantisierung

$$\left. \begin{array}{l} t \longmapsto (t, \vec{x}) = x^\mu \\ q(t) \longmapsto \phi(t, \vec{x}) = \phi(x) \\ \Delta[q(t)] \longmapsto \Delta[\phi(x)] \\ L(q(t), \dot{q}(t)) \longmapsto \mathcal{L}(\partial_\mu \phi(x), \phi(x)) \end{array} \right\}$$

Pathintegral der QFT

$$\mathcal{Z} = \int \Delta[\phi] e^{i \int d^4x \mathcal{L}(\partial_\mu \phi, \phi)}$$

* Entspricht einem Vakuum \rightarrow Vakuum Übergang ($|I\rangle = |F\rangle = |0\rangle$)

\hookrightarrow nicht sonderlich interessant

\hookrightarrow wollen das Vakuum stören \leftrightarrow Teilchen erzeugen/vernichten

Feldquantisierung + J

$$\left. \begin{aligned} t &\longmapsto (t, \vec{x}) = x^\mu \\ q(t) &\longmapsto \phi(t, \vec{x}) = \phi(x) \\ \Delta[q(t)] &\longmapsto \Delta[\phi(x)] \\ L(q(t), \dot{q}(t)) &\longmapsto \mathcal{L}(\partial_\mu \phi(x), \phi(x)) \end{aligned} \right\}$$

Pfadintegral der QFT

$$Z[J] = \int \mathcal{D}[\phi] e^{i \int d^4x [\mathcal{L}(\partial_\mu \phi, \phi) + J(x) \phi(x)]}$$

Enthält vollständige Information d. Theorie
(extrem schweres Integral zu lösen)

* Entspricht einem Vakuum \rightarrow Vakuum Übergang ($|I\rangle = |F\rangle = |0\rangle$)

\hookrightarrow nicht sonderlich interessant

\hookrightarrow wollen das Vakuum stören \leftrightarrow Teilchen *erzeugen* / *vernichten*

$\Rightarrow J(x) \hat{=} \text{Quellen/Senken}$ ("springen" auf der Matratze)

$$\frac{\delta}{\delta J(x_1)} i \int d^4x J(x) \phi(x) = \int d^4x \delta(x-x_1) \phi(x) = \phi(x_1)$$

4. Störungstheorie & Feynmandiagramme

Wenn nicht exakt, approximativ (systematisch verbesserbar)

Idee: Wechselwirkungen sind "kleine" Störungen um die freie Theorie

$$\alpha_{em} \sim 1/137$$

$$\alpha_{\text{Schwach}} \sim \frac{\alpha_{em}}{\sin^2 \theta_w} \sim 1/30$$

$$\alpha_s \sim 1/10$$

$$\Rightarrow \mathcal{O} = \mathcal{O}^{(0)} + \alpha \mathcal{O}^{(1)} + \alpha^2 \mathcal{O}^{(2)} + \dots$$

Beispiel Elektron $g-2$: $a_e = \frac{g_e - 2}{2}$

$$a_e^{exp} = 1\,159\,652\,180.73(28) \times 10^{-12} \quad (0.24 \text{ ppb})$$

$$a_e^{th} = 1\,159\,652\,182.032(13)(12)(720) \times 10^{-12}$$

contribution	value in units of 10^{-12}
$A_1^{(2)}(\alpha/\pi)$	$1\,161\,409\,733.640 \pm 0.720$
$A_1^{(4)}(\alpha/\pi)^2$	$-1\,772\,305.065 \pm 0.003$
$A_1^{(6)}(\alpha/\pi)^3$	$14\,804.203$
$A_1^{(8)}(\alpha/\pi)^4$	-55.667
$A_1^{(10)}(\alpha/\pi)^5$	0.451 ± 0.013
$A_2^{(4)}(m_e/m_\mu)(\alpha/\pi)^2$	2.804
$A_2^{(6)}(m_e/m_\mu)(\alpha/\pi)^3$	-0.092
$A_2^{(8)}(m_e/m_\mu)(\alpha/\pi)^4$	0.026
$A_2^{(10)}(m_e/m_\mu)(\alpha/\pi)^5$	-0.0002
$A_2^{(4)}(m_e/m_\tau)(\alpha/\pi)^2$	0.010
$A_2^{(6)}(m_e/m_\tau)(\alpha/\pi)^3$	-0.0008
$a_e(\text{hadronic v.p.})$	1.8490 ± 0.0108
$a_e(\text{hadronic v.p., NLO})$	-0.2213 ± 0.0012
$a_e(\text{hadronic v.p., NNLO})$	0.0280 ± 0.0002
$a_e(\text{hadronic L-L})$	0.0370 ± 0.0050
$a_e(\text{weak})$	0.03053 ± 0.00023

Lösung der Freien Theorie

Wir können das Pfadintegral der freien Theorie (quadr. in Feldern) lösen

$$Z_\phi[J] = \int \mathcal{D}[\phi] \exp \left\{ i \int d^4x \left[-\frac{1}{2} \phi (\square + m^2) \phi + J \phi \right] \right\}$$

Vgl. mit 1D Gauß Integral

$$\int dx \exp \left\{ -\frac{1}{2} dx^2 + iJx \right\} \sim \exp \left\{ \frac{1}{2} d^{-1} J^2 \right\}$$

$$\sim \exp \left\{ \int d^4x \int d^4y \frac{1}{2} i J(x) i \Delta_\phi(x-y) i J(y) \right\}$$

* Feynman Propagator $\Delta_\phi(x-y) \leftrightarrow$ das Inverse zu $(\square + m^2)$

$$\hookrightarrow (\square + m^2) \Delta_\phi(x-y) = -\delta(x-y) \quad \Delta_\phi(x-y) = \int \frac{d^4p}{(2\pi)^4} e^{-ipx} \frac{1}{p^2 - m^2 + i\epsilon}$$

$$\hookrightarrow x^0 \leq y^0 \begin{cases} \text{(i) erzeuge Teilchen bei } x \text{ (} y \text{)} \\ \text{(ii) propagiere von } x \text{ (} y \text{)} \rightarrow y \text{ (} x \text{)} \\ \text{(iii) vernichte Teilchen bei } y \text{ (} x \text{)} \end{cases}$$

Quellen / Senken $J \rightsquigarrow \frac{\delta}{i\delta J(x)} \leftrightarrow$ präparierte Teilchen bei x

$$Z_\phi[J] \sim \exp \left\{ \int d^4x \int d^4y \frac{1}{2} i J(x) i \Delta_\phi(x-y) i J(y) \right\}$$

$$= 1 + \int d^4z \int d^4z' \frac{1}{2} i J(z) i \Delta_\phi(z-z') i J(z')$$

$$+ \frac{1}{2!} \int d^4z \int d^4z_1 \frac{1}{2} i J(z) i \Delta_\phi(z-z_1) i J(z_1) \int d^4z_2 \int d^4z_2' \frac{1}{2} i J(z_2) i \Delta_\phi(z_2-z_2') i J(z_2')$$

$$+ \frac{1}{3!} (\text{"J}^3\text{"}) + \frac{1}{4!} (\text{"J}^4\text{"}) + \dots$$

$$\frac{\delta}{i\delta J(x)} \frac{\delta}{iJ(y)} Z_\phi[J] \Big|_{J=0} = \frac{\delta}{i\delta J(x)} \left[\int d^4z' \frac{1}{2} i \Delta_\phi(y-z') i J(z') + \int d^4z \frac{1}{2} i J(z) i \Delta_\phi(z-y) \right]$$

\uparrow
 nur "J²" überlebt

$$= \frac{1}{2} i \Delta_\phi(y-x) + \frac{1}{2} i \Delta_\phi(x-y) = i \Delta_\phi(x-y) = \begin{array}{cc} x & y \\ \bullet & \text{-----} & \bullet \end{array}$$

Quellen / Senken $J \rightsquigarrow \frac{\delta}{i\delta J(x)} \leftrightarrow$ präparierte Teilchen bei x

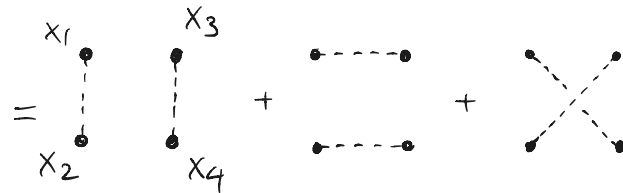
$$Z_\phi[J] \sim \exp \left\{ \int d^4x \int d^4y \frac{1}{2} i J(x) i \Delta_\phi(x-y) i J(y) \right\}$$

$$= 1 + \int d^4z \int d^4z' \frac{1}{2} i J(z) i \Delta_\phi(z-z') i J(z')$$

$$+ \frac{1}{2!} \int d^4z_1 \int d^4z'_1 \frac{1}{2} i J(z_1) i \Delta_\phi(z_1-z'_1) i J(z'_1) \int d^4z_2 \int d^4z'_2 \frac{1}{2} i J(z_2) i \Delta_\phi(z_2-z'_2) i J(z'_2)$$

$$+ \frac{1}{3!} (\text{"J}^6\text{"}) + \frac{1}{4!} (\text{"J}^8\text{"}) + \dots$$

$$\frac{\delta}{i\delta J(x)} \frac{\delta}{i\delta J(x_2)} \frac{\delta}{i\delta J(x_3)} \frac{\delta}{i\delta J(x_4)} Z_0[J] \Big|_{J=0}$$



\hookrightarrow sehr langweilige "Streuung" \leftrightarrow brauchen Wechselwirkungen!

Störungstheorie

$$\phi(x) \leftrightarrow \frac{\delta}{i\delta J(x)}$$

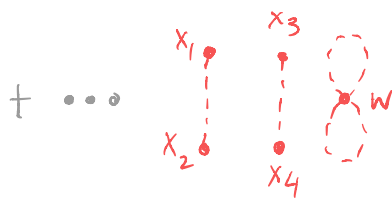
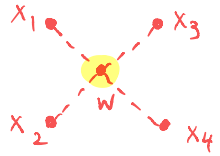
$$Z[J] = \int \mathcal{D}[\phi] \exp \left\{ i \int d^4x \left[\mathcal{L}_\phi + \mathcal{L}_{ww} + J\phi \right] \right\}$$

$$= \exp \left\{ i \int d^4x \mathcal{L}_{ww} \left(\phi(x) \rightarrow \frac{\delta}{i\delta J(x)} \right) \right\} \cdot \underbrace{\int \mathcal{D}[\phi] \exp \left\{ i \int d^4x \left[\mathcal{L}_\phi + J\phi \right] \right\}}_{Z_0[J] \text{ (freie Theorie)}}$$

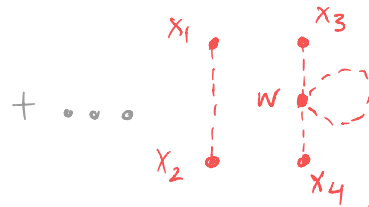
Beispiel: $\mathcal{L}_{ww} = \frac{\lambda}{4!} \phi^4$ mit 4 Teilchen

$$\frac{\delta}{i\delta J(x_1)} \dots \frac{\delta}{i\delta J(x_4)} \left\{ 1 - \frac{i\lambda}{4!} \int d^4w \left[\frac{\delta}{i\delta J(w)} \right]^4 + \frac{1}{2!} \left(\frac{-i\lambda}{4!} \right)^2 \int d^4w_1 \int d^4w_2 \left[\frac{\delta}{i\delta J(w_1)} \right]^4 \left[\frac{\delta}{i\delta J(w_2)} \right]^4 + \dots \right\} Z_0[J] \Big|_{J=\phi}$$

$$\leadsto -i\lambda \int d^4w \, i\Delta_\phi(x_1-w) i\Delta_\phi(x_2-w) i\Delta_\phi(x_3-w) i\Delta_\phi(x_4-w)$$



("Vakuumblasen")



(nicht zusammenhängend)

Feynman Regeln für Streuamplituden (Impulsraum)

* nur zusammenhängende Diagramme

* amputierte externe Propagatoren & ersetze durch 1-Teilchen Wellenfktn.

$$[\mathcal{L} = \frac{1}{2}(\partial_n\phi)(\partial^n\phi) - \frac{1}{2}m_\phi^2\phi^2 - \frac{\lambda}{4!}\phi^4]$$

⇒ Feynman Regeln für \mathcal{A}

• externe Linien


 $\rightsquigarrow 1$


 $\rightsquigarrow 1$

• Propagator


 $\rightsquigarrow \frac{i}{p^2 - m_\phi^2}$

• Vertex


 $\rightsquigarrow -i\lambda$

↳ male alle zusammenhängende Diagramme

↳ Impulserhaltung an jedem Vertex ($\int d^4w$)

↳ Integriere über alle unbestimmten Impulse $\rightsquigarrow \int \frac{d^4p}{(2\pi)^4}$ (Loops / Schleifen)

Feynman Regeln für das Standardmodell

Quelle für jedes Feld (sonst "analog")

$$Z[\tilde{J}_\psi, J_\psi, J_A^\mu, J_\phi] = \int \Delta[\psi] \Delta[\tilde{\psi}] \Delta[A_\mu] \Delta[\phi] \exp \left\{ i \int d^4x \left[\mathcal{L}_{SM} + \tilde{J}_\psi \psi + \tilde{\psi} J_\psi + J_A^\mu A_\mu + J_\phi \phi \right] \right\}$$

↔ direkte Korrespondenz zw. WW Term in $i\mathcal{L}_{SM}$ & Vertizes:

$$-ie A_\mu \tilde{\psi}_{e,r} \gamma_{rs}^\mu \psi_{e,s} \quad \rightsquigarrow \quad \begin{array}{c} e \xrightarrow{r} \\ \bullet \\ e \xrightarrow{s} \end{array} \quad \begin{array}{c} \mu \\ \text{---} \\ \mu \end{array} = -ie \gamma_{rs}^\mu$$

manchmal nicht so trivial ($\partial_\mu \rightarrow -ip_\mu$, identische Felder)

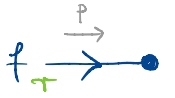
$$\frac{i g_s}{2} (\partial_\mu^a A_\nu^a - \partial_\nu^a A_\mu^a) f^{abc} A_\mu^b A_\nu^c$$

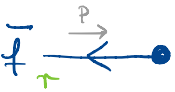
$$\rightsquigarrow \quad \begin{array}{c} \begin{array}{c} a \\ \mu \end{array} \begin{array}{c} \leftarrow p_1 \\ \text{---} \\ \leftarrow p_2 \end{array} \\ \bullet \\ \begin{array}{c} \leftarrow p_3 \\ \text{---} \\ \leftarrow p_3 \end{array} \end{array} \quad \begin{array}{c} b \\ \mu \end{array} \begin{array}{c} \leftarrow p_2 \\ \text{---} \\ \leftarrow p_3 \end{array} \quad \begin{array}{c} c \\ \mu \end{array} \begin{array}{c} \leftarrow p_3 \\ \text{---} \\ \leftarrow p_3 \end{array} = -g_s f^{abc} \left[\begin{array}{l} g_{\mu\nu} (p_1 - p_2)_\rho \\ + g_{\nu\rho} (p_2 - p_3)_\mu \\ + g_{\rho\mu} (p_3 - p_1)_\nu \end{array} \right]$$

Mehr Regeln

(komplette Liste z.B. in "Feynman Diagrams For Pedestrians" von Thorsten Ohl)

* Externe Felder

einlaufendes f  = $U_{f,r}(p,\sigma)$

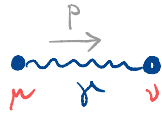
einlaufendes \bar{f}  = $\tilde{V}_{f,r}(p,\sigma)$

auslaufendes f  = $\tilde{U}_{f,r}(p,\sigma)$

auslaufendes \bar{f}  = $V_{f,r}(p,\sigma)$

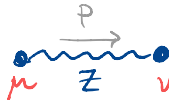
* Propagatoren

Photon



$$= \frac{-i g_{\mu\nu}}{p^2}$$

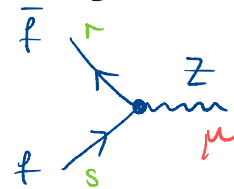
Z-Boson



$$= \frac{-i g_{\mu\nu}}{p^2 - M_Z^2 + i \Gamma_Z M_Z}$$

↑
zerfallsbreite

* Vertex



$$= ie \gamma_{rt}^{\mu} (v_f \mathbb{1}_{ts} + a_f \gamma_{ts}^5)$$

$$v_f = \frac{I_3^f - 2Q_f s_w^2}{2s_w c_w}; \quad a_f = \frac{I_3^f}{2s_w c_w}$$

5. Streuprozesse & Wirkungsquerschnitte

* Im Experiment messen wir

Ereignisse

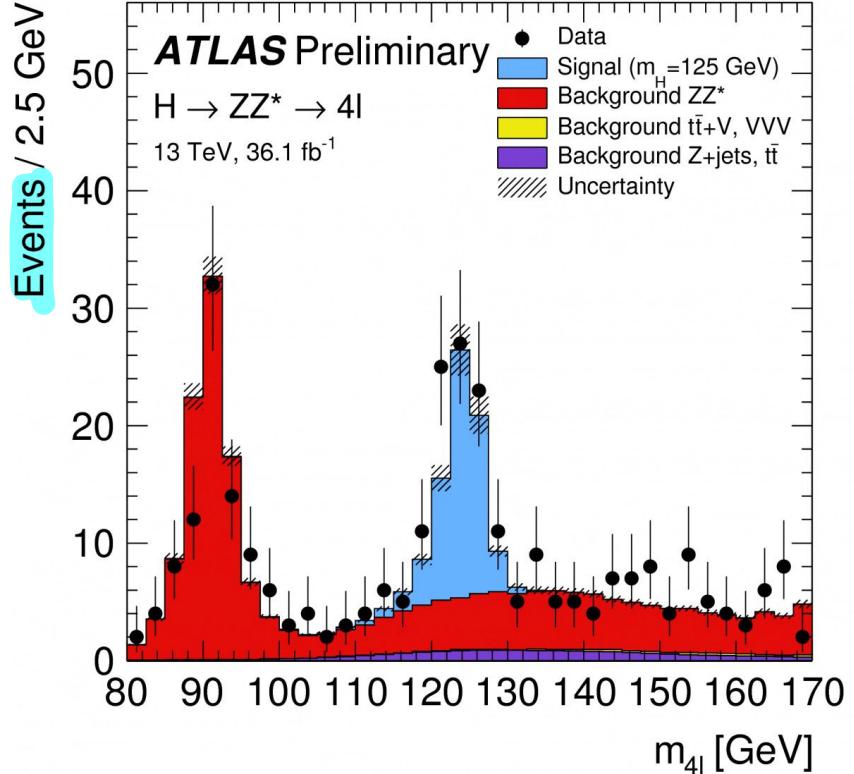
für Streuprozesse

$a + b \rightarrow 1 + 2 + \dots$

Wirkungsquerschnitt

$$dN = L \cdot d\sigma$$

Luminosität
 \sim # Kollisionen

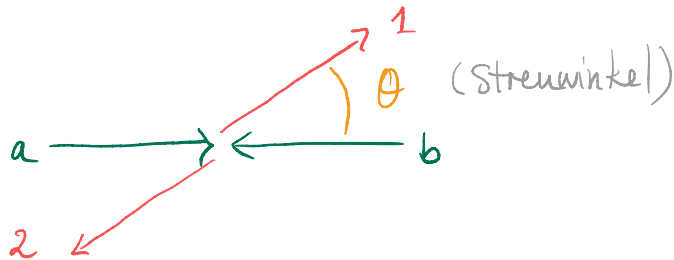


Fermi's Goldene Regel

$$d\sigma = \underbrace{\frac{1}{4(p_a \cdot p_b)}}_{\text{Fluß}} \underbrace{\left| \mathcal{A}_{a+b \rightarrow 1+\dots+n} \right|^2}_{\text{WSK Dichte (} \rightarrow \text{Feynman Diags)}} d\Phi_n(p_1, \dots, p_n; p_a + p_b)$$

* Spezialfall $a+b \rightarrow 1+2$

$$d\sigma = \frac{1}{4(p_a \cdot p_b)} \cdot \frac{d\cos\theta}{16\pi} \left| \mathcal{A}_{a+b \rightarrow 1+2} \right|^2$$



$$d\Phi_n(p_1, \dots, p_n; p_a + p_b)$$

n-Teilchen Phasenraum

$$d\Phi_n(p_1, \dots, p_n; Q)$$

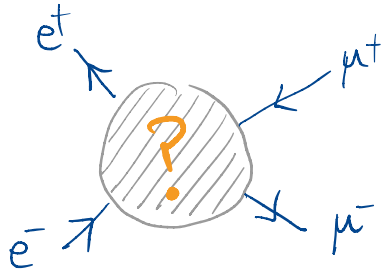
$$= \prod_{i=1}^n \left[\frac{d^3 p_i}{(2\pi)^3 2E_i} \right] (2\pi)^4 \delta^{(4)}(p_1 + \dots + p_n - Q)$$

∫ über alle
Impulskonfigurationen

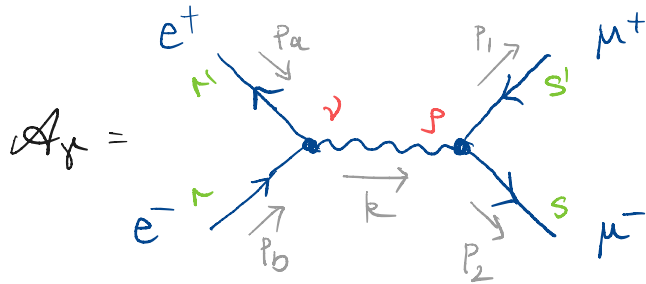
Energie-Impuls
Erhaltung



(Annahme: $m_e, m_\mu \ll E \leftrightarrow$ Kollisionsenergie)



\leadsto 2 Diagramme



$$\mathcal{A}_1 =$$

$$k = (Pa + Pb) = (P1 + P2)$$

$$= \tilde{v}_{e,r}(Pa, \sigma_a) [-ie \gamma_{rr'}^\nu] u_{e,r'}(Pb, \sigma_b)$$

$$\times \frac{-i g_{\nu\sigma}}{k^2}$$

$$\times \tilde{u}_{\mu,s}(P2, \sigma_2) [-ie \gamma_{ss'}^\rho] v_{\mu,s'}(P1, \sigma_1)$$

$$= i \frac{e^2}{(Pa + Pb)^2} [\tilde{v}_e \gamma^\rho u_e] [\tilde{u}_\mu \gamma_\rho v_\mu] \in \mathbb{C}$$

Volle Amplitude ($\gamma + z$ Austausch)

↑ unpolarisiert

↑ Mittelung

$$\frac{1}{4} \sum_{\text{spins}} |A_1|^2 = \frac{1}{4} \frac{8e^4}{(P_a \cdot P_b)^2} \left[(P_a \cdot P_1)(P_b \cdot P_2) + (P_a \cdot P_2)(P_b \cdot P_1) \right] = e^4 (1 + \cos^2 \theta)$$

* mit 2-Boson Austausch

$$\frac{1}{4} \sum_{\text{spins}} |A_1 + A_2|^2 = e^4 \left[G_1(k^2) (1 + \cos^2 \theta) + G_2(k^2) 2 \cos \theta \right]$$

$$\hookrightarrow G_1(k^2) = 1 + 2 v_e v_\mu \operatorname{Re} \left\{ \frac{k^2}{k^2 - M_Z^2 + i \Gamma_Z M_Z} \right\} + (v_e^2 + a_e^2)(v_\mu^2 + a_\mu^2) \left| \frac{k^2}{k^2 - M_Z^2 + i \Gamma_Z M_Z} \right|^2$$

$$\hookrightarrow G_2(k^2) = \underbrace{\emptyset + 2 a_e a_\mu \operatorname{Re} \left\{ \frac{k^2}{k^2 - M_Z^2 + i \Gamma_Z M_Z} \right\}}_{2 \operatorname{Re} [A_1^* A_2]} + \underbrace{4 v_e a_e v_\mu a_\mu \left| \frac{k^2}{k^2 - M_Z^2 + i \Gamma_Z M_Z} \right|^2}_{|A_2|^2}$$

$$|A_1|^2$$

$$2 \operatorname{Re} [A_1^* A_2]$$

$$|A_2|^2$$

Wirkungsquerschnitte & Asymmetrie

$$\frac{d\sigma}{d\cos\theta} = \frac{\alpha^2 \pi}{2s} \left[(1 + \cos^2\theta) G_1(s) + 2 \cos\theta G_2(s) \right] \quad (s = 4E^2)$$

$$\sigma = \int_{-1}^{+1} d\cos\theta \frac{d\sigma}{d\cos\theta} = \frac{\alpha^2 \pi}{2s} \frac{8}{3} G_1(s)$$

$$A_{FB} = \frac{\int_0^1 d\cos\theta \frac{d\sigma}{d\cos\theta} - \int_{-1}^0 d\cos\theta \frac{d\sigma}{d\cos\theta}}{\sigma} = \frac{\frac{\alpha^2 \pi}{2s} \{ 1 - (-1) \} G_2(s)}{\frac{\alpha^2 \pi}{2s} \frac{8}{3} G_1(s)} = \frac{3}{4} \frac{G_2(s)}{G_1(s)}$$

$$[\sigma] = \frac{1}{[A]} = \frac{1}{\text{GeV}^2} \rightsquigarrow \frac{1}{\text{GeV}^2} = 0.389 \dots \text{ mb} = 0.389 \dots \cdot 10^6 \text{ nb}$$

"Implementation"

$$\text{sw2} = 0.223; \text{cw2} = 1 - \text{sw2}; \text{sw} = \text{Sqrt}[\text{sw2}]; \text{cw} = \text{Sqrt}[\text{cw2}];$$

$$\text{Qf} = -1; \text{I3} = -\frac{1}{2};$$

$$\text{vf} = \frac{\text{I3} - 2 \text{Qf} \text{sw2}}{2 \text{sw} \text{cw}}; \text{af} = \frac{\text{I3}}{2 \text{sw} \text{cw}};$$

$$\text{MZ} = 91.1876; \text{GZ} = 2.4952;$$

$$\alpha = \frac{1}{137}; \text{GeVnb} = 0.389 \times 10^6;$$

$$\text{propZ}[s_] := \frac{s}{s - \text{MZ}^2 - \text{I} \text{GZ} \text{MZ}}$$

$$\text{G1}[s_] := \text{Qf}^2 - 2 \text{vf}^2 \text{Qf} \text{Re}[\text{propZ}[s]] + (\text{vf}^2 + \text{af}^2)^2 \text{Abs}[\text{propZ}[s]]^2$$

$$\text{G2}[s_] := -2 \text{af}^2 \text{Qf} \text{Re}[\text{propZ}[s]] + 4 \text{vf}^2 \text{af}^2 \text{Abs}[\text{propZ}[s]]^2$$

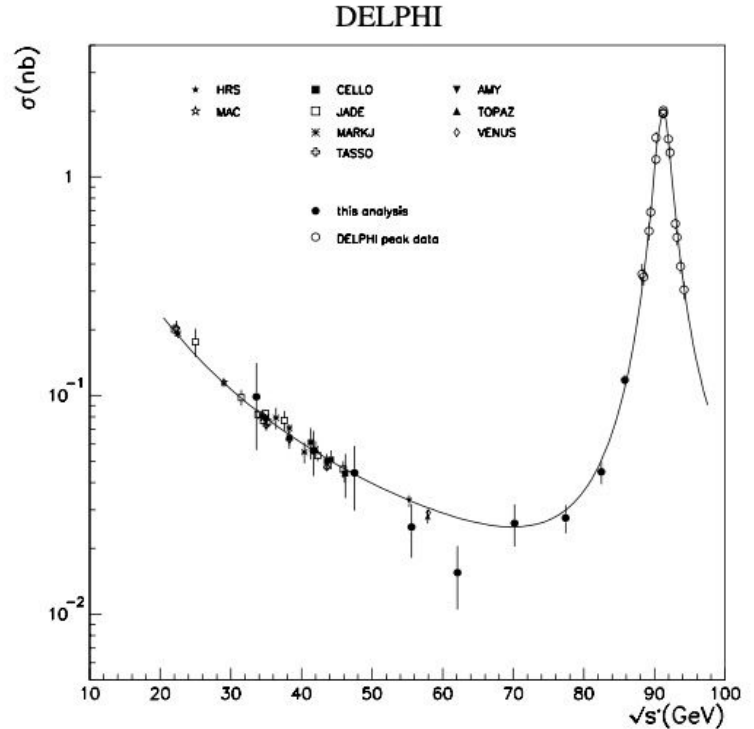
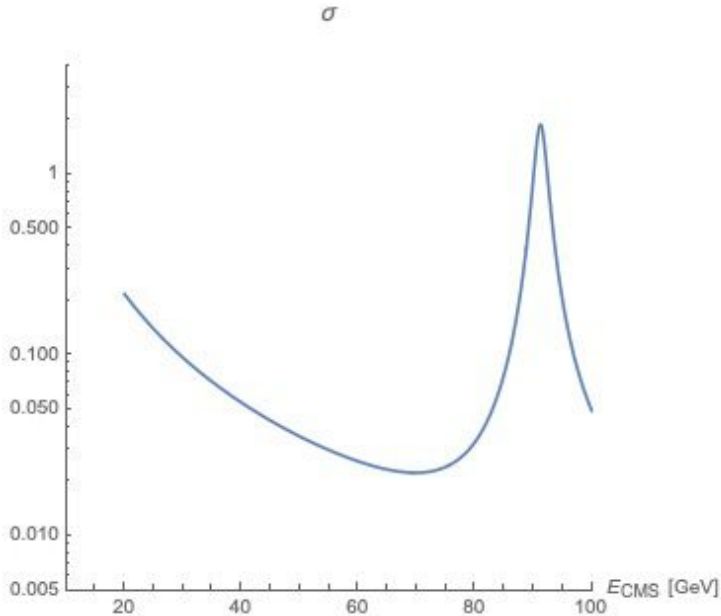
$$\text{diffXS}[s_, \text{cos}\theta_] := \text{GeVnb} \frac{\alpha^2 \pi}{2 s} \left((1 + \text{cos}\theta^2) \text{G1}[s] + 2 \text{cos}\theta \text{G2}[s] \right)$$

$$\text{totXS}[s_] := \text{GeVnb} \frac{\alpha^2 \pi}{2 s} \frac{8}{3} \text{G1}[s]$$

$$\text{AFB}[s_] := \frac{3}{4} \frac{\text{G2}[s]}{\text{G1}[s]}$$

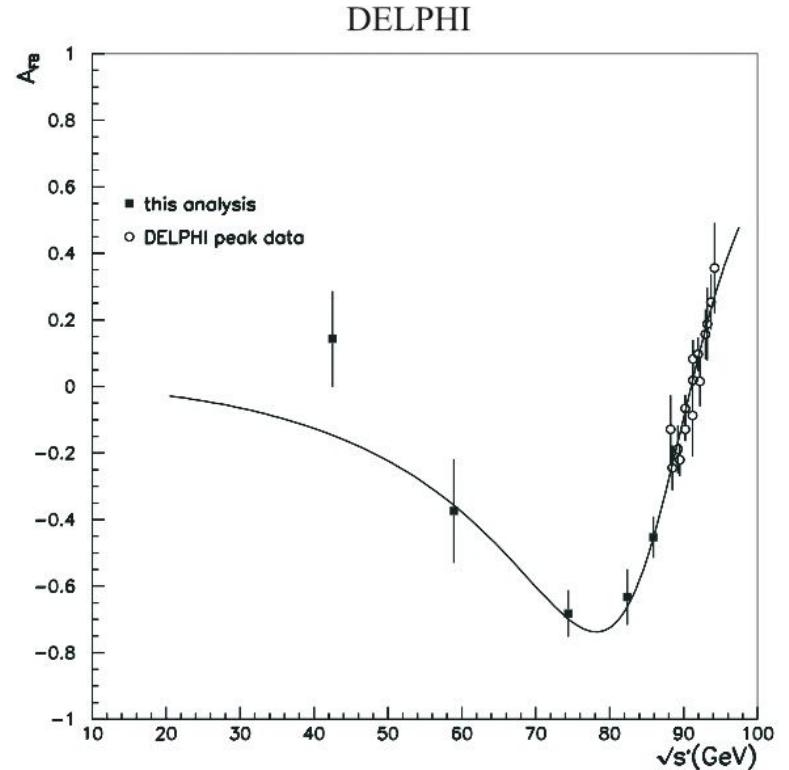
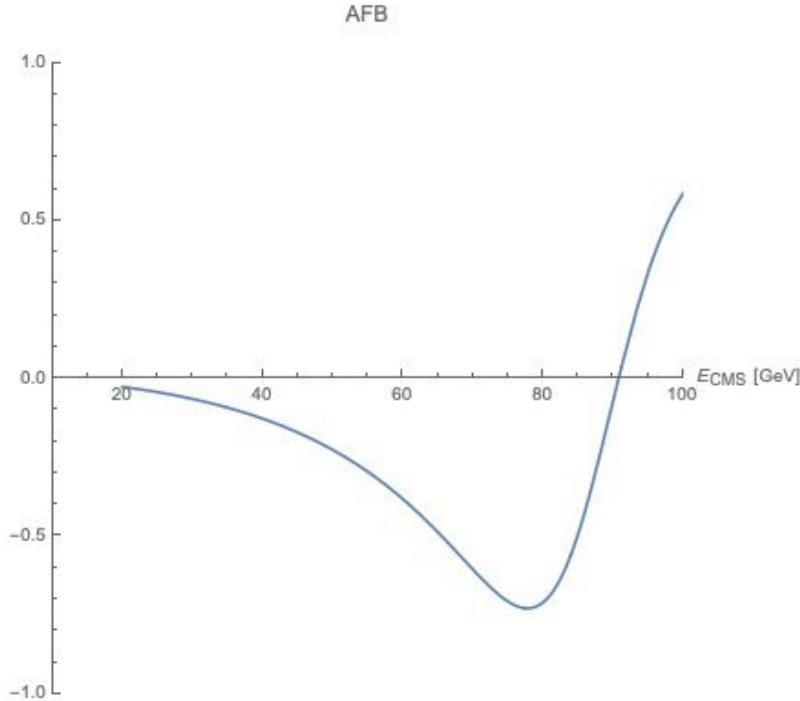
Theorie vs. Daten \rightsquigarrow totaler WQ

```
LogPlot[{totXS[ Ecms2]], {Ecms, 20, 100},  
PlotRange -> {{10, 100}, {5 * 10-3, 4}}, AspectRatio -> 1,  
PlotLabel -> "σ", AxesLabel -> {"ECMS [GeV]", ""}]
```



Theorie vs. Daten \rightsquigarrow Vorwärts-Rückwärts-Asymmetrie

```
Plot[{AFB[Ecms2]}, {Ecms, 20, 100},  
PlotRange -> {{10, 100}, {-1, 1}}, AspectRatio -> 1,  
PlotLabel -> "AFB", AxesLabel -> {"ECMS [GeV]", ""}]
```



Theorie vs. Daten @ LHC

* $p+p \rightarrow \gamma + \text{jet}$

LO $(\text{diagram 1} + \text{diagram 2}), (\text{diagram 3} + \text{diagram 4})$

NLO $(\text{12 diag} + \dots), (\text{12 diag}) \begin{matrix} + \infty \text{ (UV)} \\ - \infty \text{ (IR)} \end{matrix}$

$(\text{8 diag} + \dots), (\text{8 diag}) + \infty \text{ (IR)}$

NNLO $\mathcal{O}(100 - 1000)$ Diagramme
& komplizierte Integrale
 \hookrightarrow komplizierte Funktionen

